

بررسی تعادل شبکه های کابلی الاستیک خطی با استفاده از کمینه سازی انرژی پتانسیل

علی اصغر عطایی^{*}، مسعود شریعت پناهی^۱ و کاووه ابراهیمی^۲

^۱ استادیار دانشکده مهندسی مکانیک - پردیس دانشکده های فنی - دانشگاه تهران

^۲ دانش آموخته کارشناسی ارشد دانشکده مهندسی مکانیک - پردیس دانشکده های فنی - دانشگاه تهران

(تاریخ دریافت روایت اصلاح شده ۸۶/۶/۳۰، تاریخ تصویب ۸۶/۷/۷)

چکیده

استفاده از اصل حداقل انرژی پتانسیل کل^۱ از جمله روش‌های رایج در بررسی وضعیت تعادل سازه‌ها به شمار می‌آید. در این روش که جایگزینی برای حل مستقیم معادلات تعادل سازه بصورت تحلیلی و یا با استفاده از روش‌های عددی نظیر روش اجزای محدود به شمار می‌آید، انرژی پتانسیل کل سازه با استفاده از روش‌های بهینه سازی کمینه شده و نیروها و تغییر شکل‌ها در اعضای سازه در حال تعادل تعیین می‌گردد. در خصوص سازه‌های کابلی که اعضای آنها قادر به تحمل نیروی فشاری نیستند تابع انرژی پتانسیل دارای مشتق ناپیوسته است و بنابراین نمی‌توان برای تعیین وضعیت تعادل این سازه‌ها با استفاده از اصل حداقل انرژی پتانسیل کل، از روش‌های کلاسیک بهینه سازی که نیاز به استفاده از مشتقات تابع انرژی دارد استفاده نمود. در این مقاله روش جدیدی برای حل مساله غیر خطی تعیین وضعیت تعادل سازه‌های کابلی در محدوده الاستیک ارائه می‌گردد. در روش پیشنهادی، ابتدا رابطه تابع انرژی پتانسیل کل شبکه کابلی با فرض تغییر شکل‌های بزرگ کابل‌ها که منجر به غیر خطی شدن مساله می‌شود استخراج گردیده و سپس این انرژی با استفاده از یک روش بهینه سازی مستقیم (غیر مبتنی بر مشتقات) کمینه می‌گردد و در نتیجه وضعیت هر کابل در وضعیت تعادل شبکه مشخص می‌گردد. روش پیشنهادی قادر است نیروهای وارد به هر کابل و نیز موقعیت کابل‌های شل^۲ را با سرعت و دقت بالایی در مقایسه با روش‌های کلاسیک تعیین نماید. برای نشان دادن کارآیی و نحوه عملکرد روش پیشنهادی، چند مساله نمونه مورد بررسی قرار می‌گیرد.

واژه‌های کلیدی:

مقدمه

«

»

روش‌های تحلیل شبکه های کابلی

روش کاهش دینامیکی^۳

روش اجزاء محدود

$$p(t) = M\ddot{d} + C\dot{d} + Kd \quad ()$$

$$\begin{matrix} & p(t) \\ C & M \\ d & K \\ () \end{matrix}$$

[]

روش کمینه سازی انرژی پتانسیل

[-]

روش ماتریس سختی

$$\begin{matrix} [-] & p=Kd \\ () & R(d) \\ d & p=Kd-R(d) \end{matrix}$$

[-]

روش خطی تقریبی

$$(\quad) \quad (\quad)$$

$$(\quad) \quad (\quad)$$

[]

کمینه سازی انرژی پتانسیل در شبکه های کابلی

تغییر شکل در کابلهای (فرضیات اساسی)

π

$$\pi = U + V$$

V

π

U

()

$$\pi = \sum_{i=1}^C e_i - \sum_{j=1}^N F_j^T (\Delta X_j)$$

e_i

$$F_j^T$$

$$\Delta X_j$$

j

()

C

N i

j

π

: []

$$\Delta X_j = X_j^{Final} - X_j^{Initial}$$

$$X_j^{Initial}$$

j

()

j

()

$$\pi = \sum_{i=1}^C e_i - \sum_{j=1}^N F_j^T (X_j^{Final}) -$$

$$+ \sum_{j=1}^N F_j^T (X_j^{Initial})$$

مقدار ثابت

()

π'

$$\pi' = \sum_{i=1}^C e_i - \sum_{j=1}^N F_j^T (X_j^{Final})$$

()

$$\pi' = \pi - R$$

()

$$\frac{\partial \pi}{\partial \Delta X_j} = 0 \quad (j = 1, 2, 3, \dots, N)$$

()

F

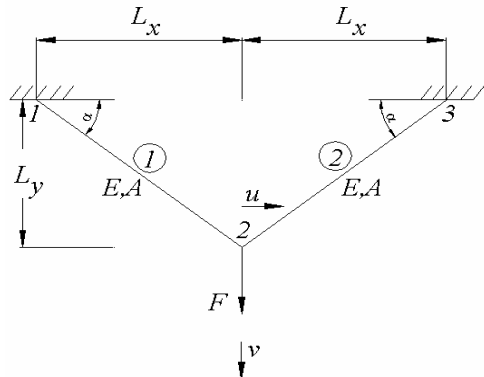
F

y

N

 (X_j^{Final})

N

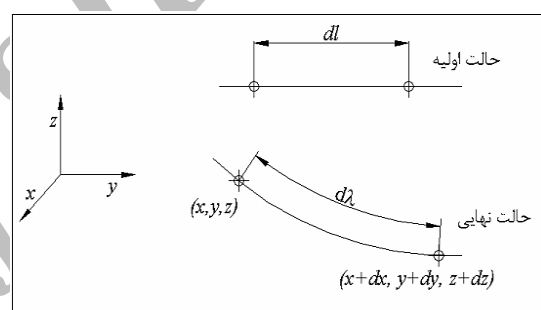


شکل ۲: شبکه ای با دو کابل.

انرژی کرنشی در کابلها

$$e = \frac{1}{2} \int EA \varepsilon^2 dl \quad : [] \quad ()$$

EA



شکل ۱: وضعیت یک المان از کابل.

$$\pi = \frac{EA}{2L} \Delta L_1^2 + \frac{EA}{2L} \Delta L_2^2 - Fv$$

$$\Delta L_2 - \Delta L_1$$

$$\Delta L_1 = u \cos \alpha + v \sin \alpha$$

$$\Delta L_2 = -u \cos \alpha + v \sin \alpha$$

$$\pi = \frac{EA}{2L} (u \cos \alpha + v \sin \alpha)^2 +$$

$$+ \frac{EA}{2L} (-u \cos \alpha + v \sin \alpha)^2 - Fv$$

$$\frac{2EA}{L} \cos^2 \alpha \cdot u = 0 \quad \underline{\text{ی}} \quad \frac{\partial \pi}{\partial u} = 0$$

$$\frac{2EA}{L} \sin^2 \alpha \cdot v = F \quad \underline{\text{ی}} \quad \frac{\partial \pi}{\partial v} = 0$$

$$u = 0 \quad v = \frac{FL}{2EASin \alpha}$$

$$\varepsilon = \frac{d\lambda - dl}{dl} = \frac{d\lambda}{dl} - 1 \quad ()$$

$$d\lambda = \sqrt{(dx)^2 + (dy)^2 + (dz)^2} \quad ()$$

$$\varepsilon = \left[\left(\frac{dx}{dl} \right)^2 + \left(\frac{dy}{dl} \right)^2 + \left(\frac{dz}{dl} \right)^2 \right]^{\frac{1}{2}} - 1 \quad ()$$

$$e = 0 \quad \text{if} \quad d\lambda < dl \quad ()$$

$$\Delta L_1 = \left[(L_x + u)^2 + (L_y + v)^2 \right]^{\frac{1}{2}} - L \quad (1)$$

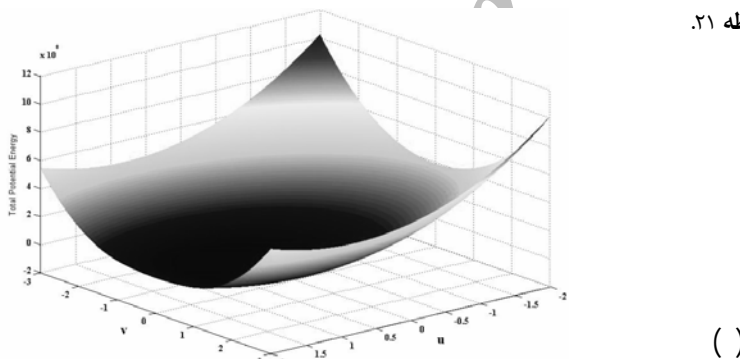
$$\Delta L_2 = \left[(L_x + u)^2 + (L_y + v)^2 \right]^{\frac{1}{2}} - L \quad (2)$$

$$h = \begin{cases} \frac{EA}{2L} \left\{ \left[(L_x + u)^2 + (L_y + v)^2 \right]^{\frac{1}{2}} - L \right\}^2 & \text{if: } \left[(L_x + u)^2 + (L_y + v)^2 \right]^{\frac{1}{2}} > L \\ 0 & \text{if: } \left[(L_x + u)^2 + (L_y + v)^2 \right]^{\frac{1}{2}} \leq L \end{cases}$$

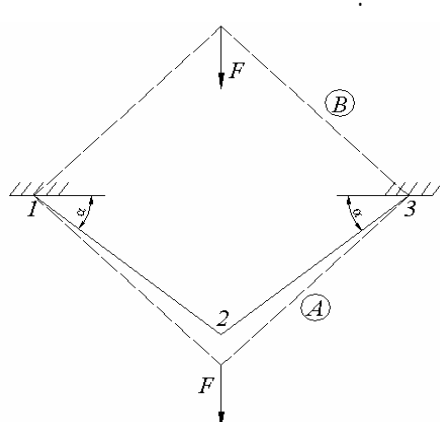
$$\pi = h + g - Fv \quad (3)$$

$$g = \begin{cases} \frac{EA}{2L} \left\{ \left[(L_x + u)^2 + (L_y + v)^2 \right]^{\frac{1}{2}} - L \right\}^2 & \text{if: } \left[(L_x + u)^2 + (L_y + v)^2 \right]^{\frac{1}{2}} > L \\ 0 & \text{if: } \left[(L_x + u)^2 + (L_y + v)^2 \right]^{\frac{1}{2}} \leq L \end{cases}$$

$$\pi = h + g - Fv \quad (4)$$

شکل ۳: انرژی پتانسیل بر حسب u و v برای رابطه ۲۱.شکل ۵: انرژی پتانسیل بر حسب u و v برای رابطه ۲۲.

[]



شکل ۴: حالتهای تعادل به دست آمده از کمینه سازی رابطه ۲۱.

/

Powell

مثالهای عددی

روش کمینه سازی پاول (Powell)

()

Powell

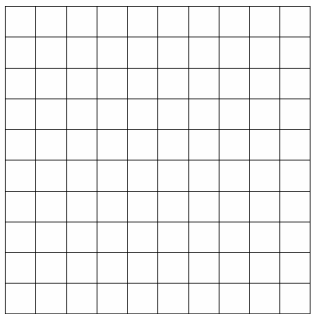
()

[]

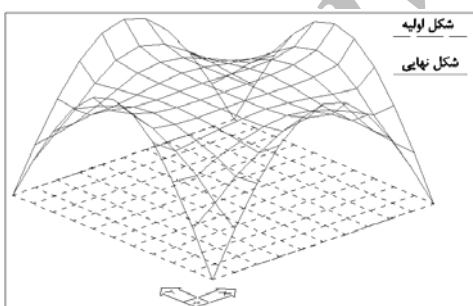
(. / :

Particle Swarm

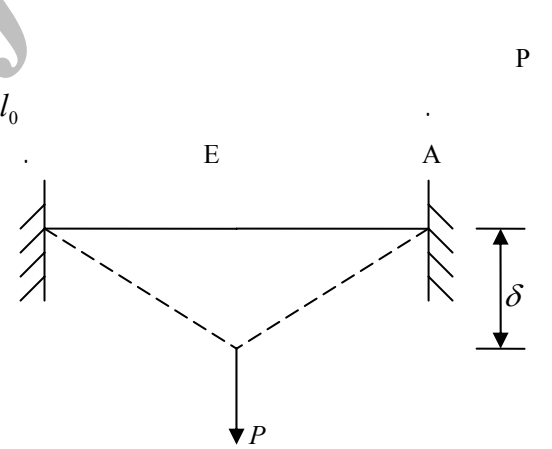
()
 .
)
 .
 (



شکل ۷: شبکه مثال ۲.



شکل ۸: تغییر شکل شبکه کابلی مثال ۲.



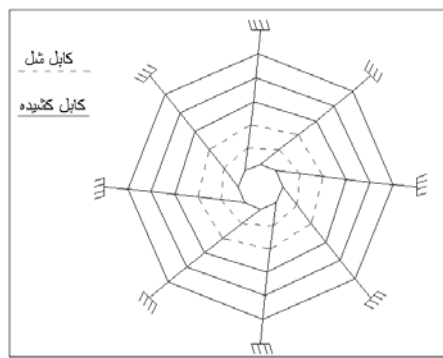
شکل ۶: کابل مستقیم تحت بار متتمرکز (مثال ۱).

$$P = 2EA\left(\frac{\delta}{l_0}\right)\left[1 - \frac{1}{\sqrt{1 + \left(\frac{\delta}{l_0}\right)^2}}\right] \quad (1)$$

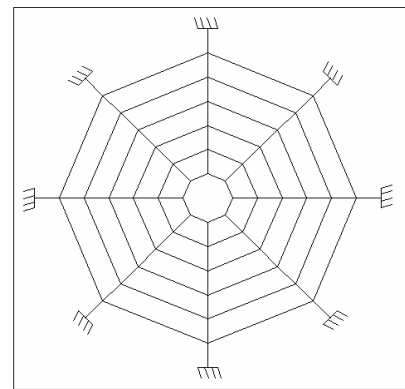
$$\frac{\delta}{l_0} = 1.2905 \quad P/EA = 1$$

$$\frac{\delta}{l_0} = 1.29045$$

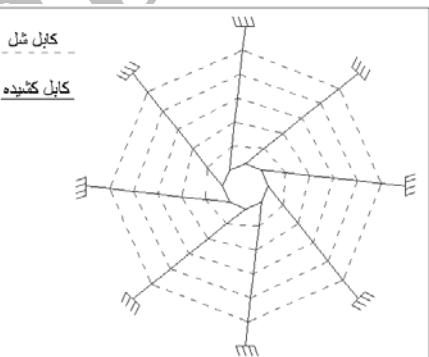
[]



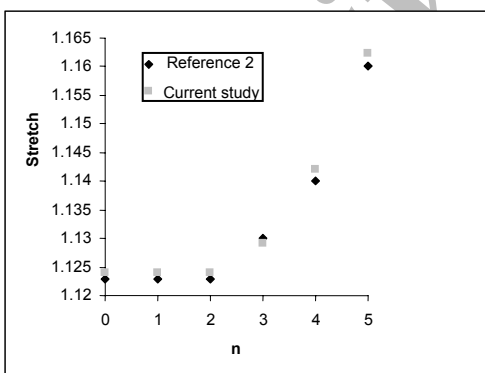
شکل ۱۱: تغییر شکل شبکه مثال ۳ (حالت ۲).



شکل ۹: شبکه مثال ۳.



شکل ۱۰: تغییر شکل شبکه مثال ۳ (حالت ۱).



شکل ۱۲: کشیدگی در کابلها محيطی (مثال ۳ حالت ۲).

$$F=0.005EA$$

$$() \quad .()$$

$$F=0.07EA$$

$$n=0) \quad 0.07(1+2n\cos(3\pi/8))$$

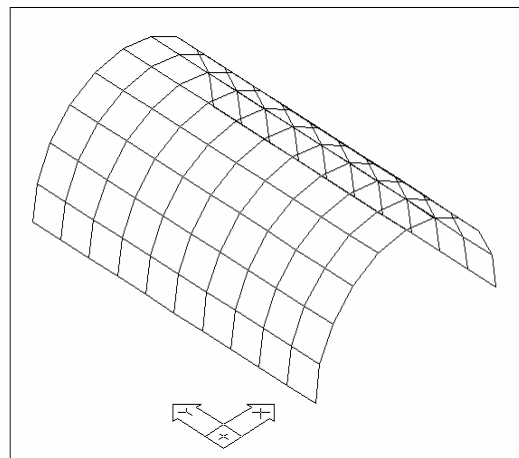
$$n=5$$

$$()$$

جمع بندی و نتیجه گیری

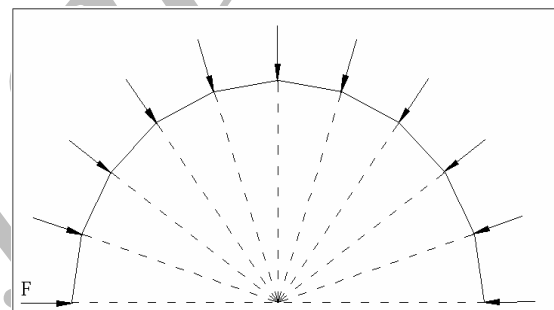
)
(

Powell



شکل ۱۳ : شبکه مثال ۴.

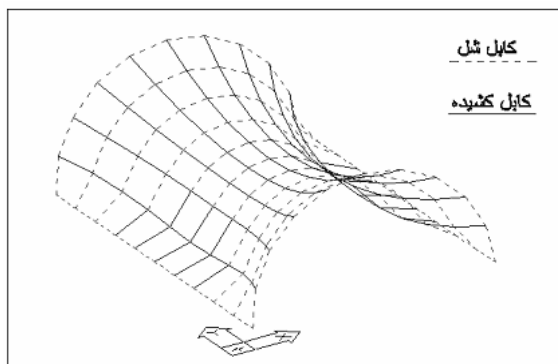
)
(



شکل ۱۴ : مقطع نیرو های واردہ به شبکه مثال ۴.

()

(slack)



شکل ۱۵ : تغییر شکل شبکه مثال ۴.

مراجع

- 1 - Coyette, J. P. and Guisset, P. (1988). "Cable Network Analysis by a Nonlinear Programming Technique." *Engineering Structures*, Vol. 10, PP. 41-46.
- 2 - Atai, A. A. and Steigmann, D. J. (1997). "On the Nonlinear Mechanics of Discrete Networks." *Applied Mechanics*, Vol. 67, PP. 303-319.
- 3 - Atai, A. A. and Mioduchowski, A. (1998). "Equilibrium Analysis of Elasto-Plastic Cable Nets." *Computers and Structures*, Vol. 66, PP. 163-171.
- 4 - Kwan, A. S. K. (1998). "A New Approach to Nonlinearity of Cable Structures." *Computers & Structures*, Vol. 67, PP. 243-252.
- 5 - Krishna, P. (1978). *Cable-Suspended Roofs*, McGraw-Hill.
- 6 - Mitsugi, J. (1994). "Static Analysis of Cable Networks and Their Supporting Structures." *Computers and Structures*, Vol. 51, No. 1, PP. 47-56.
- 7 - Wallerstein, D.V. (2002). *A Variational Approach to Structural Analysis*, John Wiley and Sons.
- 8 - Ghali, A. (2003). *Structural Analysis: A Unified Classical and Matrix Approach*, Taylor & Francis.
- 9 - Rao, S. S. (1996). *Engineering Optimization*, John Wiley & Sons.
- 10 - Buchholdt, H. A. (1999). *An Introduction to Cable Roof Structures*, Thomas Telford.

واژه های انگلیسی به ترتیب استفاده در متن

- 1 - Minimum Total Potential Energy
- 2 - Slack
- 3 - Dynamic Relaxation
- 4 - Hypercables
- 5 - Stationary
- 6 - Node
- 7 - Clamp
- 8 - Total Potential Energy
- 9 - Global Minimum
- 10 - Local Minimum
- 11 - Relaxed
- 12 - Steepest Descent
- 13 - Stochastic
- 14 - Population-Based